萃取色层法测定⁹⁰Sr时消除²¹⁰Bi干扰的修正方法

李美丽 李巧勤 邓雨阳 覃连敬 邓飞

(广东省环境辐射监测中心 广州 510300)

摘要 210 Bi 是环境样品分析 90 Sr 过程中最重要的干扰核素之一。在二(2-乙基己基)磷酸酯(Bis(2-ethylhexyl)phosphate,HDEHP)萃取色层法分析 90 Sr 过程中,通过对淋洗液分段收集、测量并绘制淋洗曲线,发现铋、钇完全被吸附在色层柱上且二者无法完全分离,导致 90 Sr 测量结果偏高。对于部分环境样品(如土壤、气溶胶等), 210 Pb- 210 Bi 的含量远高于 90 Sr- 90 Y,必须采取进一步的除铋措施。过柱分离后残留的 210 Bi 可以通过 210 Bi 可以通过 210 Bi 的含量远高于 90 Sr- 20 Y,必须采取进一步的除铋措施。过柱分离后残留的 210 Bi 可以通过 210 Bi 可以通过对样品源重复 测量、运用公式修正的方法消除 210 Bi 干扰。试验结果表明: 210 Bi 与 90 Sr 活度比 40 5 时,经修正后的 90 Sr 结果与参考值的相对偏差在 23 6 以内。环境样品通过修正方法计算的 90 Sr 结果与 10 Bi 210

中图分类号 TL12

DOI: 10.11889/j.0253-3219.2022.hjs.45.050301

关键词 锶-90,铋-210,除铋,萃取色层法,修正方法

A modified method to eliminate ²¹⁰Bi interference in the analysis of ⁹⁰Sr by extractive chromatography

LI Meili LI Qiaoqin DENG Yuyang QIN Lianjing DENG Fei

(Guangdong Environmental Radiation Monitoring Center, Guangzhou 510300, China)

Abstract [Background] ²¹⁰Bi is one of the most important interferences in the analysis of ⁹⁰Sr by extractive chromatography. It is verified by the leaching curve that bismuth and yttrium are completely adsorbed on the chromatographic column in the bis(2-ethylhexyl) phosphate (HDEHP) extraction chromatography, and this two components can not be completely separated, resulting in higher measurement results of ⁹⁰Sr. [Purpose] This study aims to provide a modified method to eliminate ²¹⁰Bi interference in the analysis of ⁹⁰Sr by bis(2-ethylhexyl) phosphate (HDEHP) extraction chromatography. [Methods] By collecting the eluent, measuring the content of strontium, yttrium, lead and bismuth in the eluent and drawing the leaching curve, the adsorption and elution behavior of strontium, yttrium, lead and bismuth in the P204 resin were investigated. The residual ²¹⁰Bi after column separation was experimentally removed by Bi₂S₃ precipitation or by measuring the sample source repeatedly and correcting the result with formulas. [Results] The experimental results show that the relative deviation between the modified ⁹⁰Sr activity and the reference value is within 23% when the activity ratio of ²¹⁰Bi to ⁹⁰Sr is not bigger than 5. The results of ⁹⁰Sr calculated by the modified method for environmental samples are in good agreement with the measured results after bismuth removal by Bi₂S₃ precipitation. [Conclusions] The interference of ²¹⁰Bi in the analysis of ⁹⁰Sr by extractive chromatography can be eliminated by measuring the sample source repeatedly and correcting the result with formulas.

Key words Strontium-90, Bismuth-210, Eliminate ²¹⁰Bi interference, Extraction chromatography, Correction method

第一作者: 李美丽, 女, 1988年出生, 2014年于华南理工大学获硕士学位, 现从事辐射环境监测工作

通信作者: 邓飞, E-mail: 843456548@qq.com 收稿日期: 2021-10-10, 修回日期: 2022-04-07

First author: LI Meili, female, born in 1988, graduated from South China University of Technology with a master's degree in 2014, focusing on radiation environmental monitoring

Corresponding author: DENG Fei, E-mail: 843456548@qq.com

Received date: 2021-10-10, revised date: 2022-04-07

"Sr 是一种高毒性的纯β放射性核素,半衰期28.8 a。由于核爆炸落下灰、核事故的释放以及核燃料循环后段设施的运行,人工放射性核素"Sr 被释放到环境中,并在陆地和海洋中沉积和积累。"Sr 在体内的化学性质与钙相似,是典型的亲骨核素,可通过食物链进入人体并易沉积于骨骼中,引起骨骼组织和造血器官的严重损伤。另外,"Sr 的子体"Y能放出最大能量为2.28 MeV的高能β粒子,进入人体后将对人体器官造成较大危害。因此,"Sr 一直是辐射环境监测关注的核素之一。

"Sr 的化学分离纯化方法主要有发烟硝酸法、离子交换法、萃取色层法等[1-8]。经典的发烟硝酸法适用性广,分析结果稳定,但缺点是发烟硝酸易挥发、分解,形成酸雾和NO2,对分析人员有较大的健康危害,且废液不易处理。离子交换法分析步骤繁琐,分析周期长。一种具有高选择性的锶特效树脂近年来备受关注[9-11],但其价格相对昂贵。二(2-乙基己基)磷酸酯(Bis(2-ethylhexyl) phosphate,HDEHP)萃取色层法具有分析过程相对简单、快速[5-6],且树脂价格低廉等特点,在国内被广泛应用于"Sr 的分析中。

萃取色层法快速分析 "Sr测量的是样品源中"Y 的总 β 计数,无法对核素进行甄别,若纯化程度不够,可能会受到其他 β 核素的干扰,比如天然放射性核素 210 Bi、210 Pb,以及裂变产物及其衰变子体" Y、 144 Ce、147 Pm等。对于一般的环境样品,主要的干扰核素是 210 Bi。 贾国纲等 [7-8.12] 对 210 Bi 的干扰和去除作了报道,提出 Bi₂S₃沉淀可去除 210 Bi 对 "Sr 分析的干扰。另外文献 [13] 指出,锶特效树脂分析 "Sr 时,210 Pb 会干扰 "Sr 的分析,可通过不同的淋洗体系进行洗脱分离。

本工作在前人的基础上,利用淋洗曲线进一步探究了HDEHP萃取色层法分析⁹⁰Sr过程中²¹⁰Bi及其母体²¹⁰Pb的干扰情况,推荐一种利用衰变规律通过对样品源重复测量、运用公式修正消除²¹⁰Bi干扰的方法,为⁹⁰Sr放化分析提供参考。

1 实验部分

1.1 主要仪器及试剂

MPC9604 型流气式低本底 α、β 测量仪,美国 ORTEC 公司生产,α本底 < 0.057 counts · min $^{-1}$ 、β 本底 < 0.75 counts · min $^{-1}$,α 探测效率 $(2\pi) \ge 42\%$ (241 Am 源)、β 探测效率 $(2\pi) \ge 55\%$ (90 Sr- 90 Y 源)。

TAS-990型原子吸收分光光度计,北京普析通用仪器有限公司。

锶载体(50 mg·mL⁻¹);钇载体(20 mg·mL⁻¹);铅载体(10 mg·mL⁻¹);铋载体(10 mg·mL⁻¹);⁹⁰Sr-⁹⁰Y标准溶液,生产厂家 Eckert & Ziegler Isotope Products。

P204 树脂,核工业北京化工冶金研究院,孔径 250~380 um。

色层柱: \emptyset 10 mm×150 mm 离子交换柱。取 4.0 g P204 树脂湿法装柱,使用前用 20 mL pH= 1 HNO₃淋洗备用。

1.2 方法步骤

实验过程参照 HJ 815-2016 中萃取色层快速法 进行[1]。

1.2.1 锶、钇、铅、铋的淋洗曲线

由于元素的稳定同位素与放射性同位素化学性质相同,本文采用锶、钇、铅、铋的稳定同位素作为研究对象,探究它们在P204树脂上的吸附、解析行为。

pH=1 HNO₃溶液,分别加入 1 mL 锶载体、1 mL 钇载体、1 mL 铅载体、1 mL 铋载体,控制溶液的总体积为 50 mL。过柱程序参照 HJ 815-2016 中§3.5.2 萃取色层快速法。过柱全程控制流速 1 mL·min⁻¹。用带刻度的 10 mL 小试管依次收集通过柱子的流出液,每 10 mL 流出液收集为一个样品,共收集 18 个样品,并依次编号 1~18,其中 1~6 号为 pH=1 的上柱液,7~10 为 1.5 mol·L⁻¹ HNO₃ 淋洗液,11~18 为 6.0 mol·L⁻¹ HNO₃洗脱液。用原子吸收分光光度计测量收集的各个流出液中锶、钇、铅、铋元素的含量,绘制淋洗曲线。

1.2.2 ²¹⁰Bi的干扰实验

验证²¹⁰Bi对萃取色层法快速分析⁹⁰Sr的干扰。

 $pH=1\ HNO_3$ 溶液,分别加入1 mL 钇载体、2 mL 银载体、 90 Sr- 90 Y标准平衡溶液 $1.106\ 5$ Bq,再加入一定活度的 210 Pb- 210 Bi- 210 Po 标准平衡溶液 $(^{210}$ Bi 与 90 Sr 活度之比分别为 3.1.0.5),控制溶液总体积约为 50 mL,按 HJ815-2016 萃取色层快速法进行上柱分析 90 Sr。

2 结果分析与讨论

2.1 铋-210的影响

锶、钇、铅、铋在P204树脂上的淋洗曲线示于图1。由图1可见,在pH=1的样品溶液上柱阶段,锶和铅在P204树脂几乎不吸附,二者同时随上柱液直接流出,回收率为100%,实现锶、铅与钇、铋的有效分离。这与闻德运等[14]关于P204 萃淋树脂能够有效吸附Bi而不吸附Pb的结论一致。在1.5 mol·L⁻¹HNO₃淋洗除杂阶段,约60%的铋可被淋洗除去,仍

有将近 40% 的铋在 6.0 $\operatorname{mol·L^{-1}}$ HNO₃洗脱阶段随钇一起被洗脱下来,因此,铋与钇的淋洗曲线有部分重叠,上柱淋洗过程铋与钇无法完全分离。 王铁健等[12]在土壤中% res 快速测量方法的改进中亦指出仅靠淋洗液淋洗很难将 Bi 和 Y 完全分离。 $\operatorname{Bi}_2(\operatorname{C}_2\operatorname{O}_4)_3$ 的 $\operatorname{K}_{\operatorname{sp}}$ 很小(3.98×10⁻³⁶),洗脱下来的铋极易一起进入到草酸钇源中,对测量结果造成干扰。 文献指出[7-8·12],可通过 $\operatorname{Bi}_2\operatorname{S}_3$ 沉淀的形式将残余的铋除去。

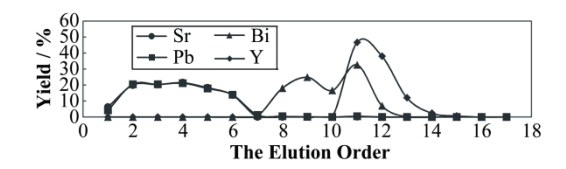


图 1 Sr、Pb、Bi、Y的淋洗曲线 Fig.1 Elution curve of Sr, Pb, Bi and Y

2.2 铋-210的干扰和去除

在 pH=1 的 HNO₃溶液中加入不同活度比例的²¹⁰Bi 和⁹⁰Sr 标准溶液,参照 HJ 815-2016 中§3.5.2 萃取色层快速法分析⁹⁰Sr,样品溶液过柱后分别采取硫化钠除铋和不除铋两种方式分析,计算⁹⁰Sr 加标回收率。不同含量²¹⁰Bi干扰时⁹⁰Sr 的测量结果列于表1。

从实验结果可见,当加入的²¹⁰Bi和⁹⁰Sr活度比值分别是0.5、1和3时,在不除铋的情况下,⁹⁰Sr加标回收率分别达到131%、165%和278%,⁹⁰Sr测量结果与样品中²¹⁰Bi的含量呈正相关;而经过除铋以后,⁹⁰Sr加标回收率为102%~104%,说明一次硫化钠除铋基本能消除²¹⁰Bi的干扰,必要时可进行两次除铋,铋的去污系数可达10^{4[12]}以上。

²¹⁰Bi 在环境土壤中的含量为 8~222 Bq·kg^{-1[7]},是 ⁹⁰Sr 含量的几十甚至上百倍,《土壤中锶-90 分析方法》EJ/T 1035-2011 在上柱后有 Bi₂S₃沉淀除铋步骤,而 HJ 815-2016 对环境水样和生物灰样萃取色层法分析 ⁹⁰Sr 没有除铋步骤,容易让分析人员特别是初学者认为,淋洗过程可以将水样和生物中²¹⁰Bi 的干扰充分除去。尽管 EJ/T 1035-2011 适用对象

是²¹⁰Bi含量较高的土壤样品,但在辐射环境监测中 发现,一些水样和生物样中同样含有较高活度 的²¹⁰Bi,表2给出了辐射环境监测中部分水样和生物 样中²¹⁰Bi、⁹⁰Sr的活度水平。可以看出,某些水样和 生物样中²¹⁰Bi含量明显高于⁹⁰Sr,若仅仅依靠萃取色 层柱上的淋洗,很难将²¹⁰Bi干扰完全除尽,将导致测 量结果偏高。目前,气溶胶和沉降物中⁹⁰Sr分析暂 无标准方法,各辐射监测机构参照 HJ 815-2016 或 EJ/T 1035-2011 进行分析。气溶胶中²¹⁰Bi 与⁹⁰Sr 活 度浓度比高达10⁴,对²¹⁰Bi的去污要求需去污因子> 10⁵以上,即使在过柱后进行两次Bi,S,沉淀除铋,也 很难保证将²¹⁰Bi 完全除去,而且除铋过程实验条件 较难把控,容易造成钇回收率的大幅度降低,影响分 析结果的准确性。全国辐射环境质量监测要求对气 溶胶和沉降物进行年混合样⁹⁰Sr分析,部分南方城 市的样品尘量较少,不足以进行多次分析,为保证钇 化学回收率不太低而只进行一次Bi,S,沉淀除铋可 能仍会有²¹⁰Bi残留,此种情况下,我们推荐一种通过 对样品源重复测量、利用公式修正的方法消除210Bi 干扰,为⁹⁰Sr分析提供参考。

2.3 修正方法

所测样品源是否存在放射性杂质干扰,可通过重复测量样品源的计数率,绘制衰变曲线,分析其衰变规律是否与"Y的半衰期相符来判断样品的放射性纯度。在此介绍一种萃取色层法分析"Sr消除²¹⁰Bi干扰的修正方法,并用加标样品和实际样品予以检验。

假设样品源中只有²¹⁰Bi 的干扰,即所测源只有²¹⁰Bi 和⁹⁰Y,在两个核素确定的情况下,通过重复测量样品源的计数,能否用二元一次方程分别获得各核素的活度?

理论计算式的建立:经放化分离后制得的样品源中 90 Y和 210 Bi的活度分别设为 A_{Y} 、 A_{B} ,将 90 Sr、 90 Y分离时刻记为 t_{0} ,样品源第i次测量的中间时刻记为 t_{i} 。若样品源测量的计数率C只有 90 Y和 210 Bi的贡献(分

表1 不同活度比例²¹⁰Bi 干扰时⁹⁰Sr 的测量结果 Table 1 Measurement results of ⁹⁰Sr with different activity ratios of ²¹⁰Bi interference

	14010 1	1,100,501,011,0		· dillerelle decivity i			
²¹⁰ Bi与 ⁹⁰ Sr活	²¹⁰ Bi活度	90Sr活度	除铋 Separation of 210	Bi	不除铋 without Separation of 210Bi		
度比	Activity of	Activity of	⁹⁰ Sr 实测值,A ₁	%Sr加标回收率		%Sr加标回收率	
Activity ratio	²¹⁰ Bi / Bq	⁹⁰ Sr / Bq	Measurement results	Spiked recovery	Measurement results	Spiked recovery	
of ²¹⁰ Bi to ⁹⁰ Sr			of 90 Sr, A_1	rate of 90Sr	of 90 Sr, A_2	rate of 90Sr	
3:1	3.338 0	1.106 5	1.132 0	102%	3.073	278%	
1:1	1.101 4	1.106 5	1.145 2	104%	1.831	165%	
0.5:1	0.500 7	1.106 5	1.144 5	103%	1.444	131%	

注:除铋过程参照 EJ/T 1035-2011 进行

Notes: ²¹⁰Bi separation process is carried out according to EJ/T 1035-2011

	表 2 部分坏境水样和生物样中 *1"Bi 及 *"Sr 沽度水平
Table 2	²¹⁰ Bi and ⁹⁰ Sr activity levels in environmental water samples and biological samples

样品类型 Sample types		²¹⁰ Bi	⁹⁰ Sr		
牡蛎(鲜)	m/n	37/40	10/40		
Oysters (fresh) / Bq·kg ⁻¹	测值范围 Scope of values	<0.26~3.0	<0.001~0.052	<0.001~0.052	
	均值 Mean value	0.63 ± 0.44	$0.003~8 \pm 0.008~4$		
地表水	m/n	58/58	58/58		
Surface water / $mBq \cdot L^{-1}$	测值范围 Scope of values	0.99~22.8	0.43~2.22		
	均值 Mean value	3.14 ± 3.03	1.02 ± 0.45		

注:n为样品总数,m为活度浓度高于探测下限的样品个数;测量结果低于探测下限的数据,取探测下限的一半参与均值计算 Note: n is the total number of samples, m is the number of samples whose activity concentration is higher than the detection limit. For data whose measurement results are lower than the detection limit, half of the detection limit is taken to participate in the mean value calculation.

别以 $C_Y \setminus C_B$ 表示 ^{90}Y 和 ^{210}Bi 的计数率),则 $C = C_Y + C_B$, 第i次测量的净计数率 C_i 可用下式表示:

$$C_i = E_{\mathbf{Y}} \cdot A_{\mathbf{Y}} \cdot D_{i\mathbf{Y}} + E_{\mathbf{B}} \cdot A_{\mathbf{B}} \cdot D_{i\mathbf{B}} \tag{1}$$

式中: C_i 表示第i次测量的计数率, \mathbf{s}^{-1} ; $E_{\mathbf{y}}$ 为 90 Y的探 测效率; E_{o} 为²¹⁰Bi的探测效率; A_{v} 、 A_{o} 分别表示 t_{o} 时 刻样品源中%Y和210Bi的活度,Bq;Ty为%Y的半衰 期,64.2 h; $T_{\rm R}$ 为²¹⁰Bi的半衰期,120.2 h; $D_{\rm N}$ 表示第i次测量⁹⁰Y的衰变因子:

$$D_{iY} \!\!=\!\! \mathrm{e}^{-\!\lambda_{_{Y}}(t_{i} \!-\! t_{_{0}})} \!\!=\!\! \mathrm{e}^{-\frac{\ln 2}{T_{_{Y}}}(t_{i} \!-\! t_{_{0}})}$$

 $D_{\scriptscriptstyle B}$ 表示第i次测量 210 Bi的衰变因子: $D_{\scriptscriptstyle B} = \mathrm{e}^{-\lambda_{\scriptscriptstyle B}(t_i-t_0)} = \mathrm{e}^{-\frac{\ln 2}{T_{\scriptscriptstyle B}}(t_i-t_0)}$

$$D_{x} = e^{-\lambda_{B}(t_{i}-t_{0})} = e^{-\frac{\ln 2}{T_{B}}(t_{i}-t_{0})}$$

因此,第1次测量:

$$C_1 = E_{\mathbf{y}} \cdot A_{\mathbf{y}} \cdot D_{1\mathbf{y}} + E_{\mathbf{B}} \cdot A_{\mathbf{B}} \cdot D_{1\mathbf{B}} \tag{2}$$

第2次测量:

$$C_2 = E_Y \cdot A_Y \cdot D_{2Y} + E_B \cdot A_B \cdot D_{2B} \tag{3}$$

通过式(2)和(3)可求得样品源中%Y在分离时 刻 t_0 的活度 A_v 。

$$A_{Y} = \frac{C_{1} \cdot D_{2B} - C_{2} \cdot D_{1B}}{E_{Y} \cdot (D_{1Y} \cdot D_{2B} - D_{2Y} \cdot D_{1B})}$$
(4)

再代入⁹⁰Sr的计算式可得到样品中⁹⁰Sr的含量:

$$A_{\text{Sr-90}} = \frac{A_{\text{Y}}}{Y_{\text{v}} \cdot W} \tag{5}$$

式中: $A_{s_r,0}$ 为样品中%Sr的活度浓度;W为样品用量; Y、为钇的化学回收率。

用加标样品验证上述修正方法的可行性。参照 "§1.2.2"程序配置不同²¹⁰Bi和⁹⁰Sr活度比的溶液,按 HJ 815-2016 萃取色层快速法上柱分析 ⁹⁰Sr。对制得 的样品源进行重复测量,然后按上述修正公式推算 出样品中⁹⁰Sr的活度浓度,计算⁹⁰Sr的加标回收率, 测量信息示于表3。对比表1的结果,²¹⁰Bi与⁹⁰Sr活 度比为1:1时,不除铋的%Sr加标回收率为165%,而 样品源经过三次重复测量,按"§2.3"方法修正后 的%Sr加标回收率为98.5%。本工作验证了210Bi 与%Sr活度比为0.2:1~5:1的范围,通过样品源的重 复测量修正后,⁹⁰Sr加标回收率范围为98.2%~ 123%。由此可见,使用萃取色层法分析⁹⁰Sr,当所制 得样品源受²¹⁰Bi干扰时可以通过重复测量,按本文 推荐的修正方法计算消除其影响。但随着²¹⁰Bi占比 的增大,修正后的%Sr结果与理论值相对偏差也增 大,可能是因为²¹⁰Bi的子体²¹⁰Po产生的α计数串道

对于一些环境样品,重复测量草酸钇源计数率 并分析衰变规律,发现其半衰期大于64h,且小于 120 h,推断干扰核素为²¹⁰Bi的可能性较大。对这些 样品进行修正计算,其修正结果与经过除铋步骤的 测量结果示于表4。可以看出,样品的修正结果与 除铋测量结果的相对偏差为-3%~18%。

此修正方法在实际应用时样品中²¹⁰Bi、⁹⁰Sr的活 度比在相对较小的范围内较合适,二者活度基本相 当的情况下应用效果最好。随着²¹⁰Bi占比的增大, 可能会由于210Bi的子体210Po产生的α计数串道导致 修正后的⁹⁰Sr结果与理论值相对偏差也增大。因 此,未进行Bi,S,沉淀除铋或除铋不完全的样品源, 可进行重复测量,通过任意两次的测量计数建立方 程进行修正,消除210Bi的干扰。此方法可以避免重 复分析的巨大工作量,对于样品量少无法复检的情 况,借鉴这种修正方法也是适宜的。

结语

HDEHP萃取色层法分析⁹⁰Sr过程,锶和铅不吸 附在色层柱上,铋、钇则完全被色层柱吸附,实现锶、 铅与钇、铋的有效分离。仅仅通过酸体系淋洗,无法 将铋与钇完全分离,铋将对钇的测量造成干扰,导 致⁹⁰Sr分析结果偏高。对于部分环境样品如土壤、 气溶胶等,²¹⁰Pb-²¹⁰Bi的含量远远高于⁹⁰Sr-⁹⁰Y,必须采 取进一步的除铋措施。过柱分离后残留的210Bi可以

表3 不同比例的²¹⁰Bi干扰时⁹⁰Sr 的修正结果 Table 3 Correction results of ⁹⁰Sr with different activity ratios of ²¹⁰Bi interference

²¹⁰ Bi: ⁹⁰ Sr活度比		测量信息 Measure	∞Sr加标回收率					
Activity	Chemical	测量次数	第1次	第2次	第3次	第4次	第5次	Spiked
ratio of ²¹⁰ Bi	recovery of	Number of	The first	The second	The third	The fourth	The fifth	recovery rate
to 90Sr	Yttrium / %	measurement	time	time	time	time	time	of 90Sr / %
0.2:1	92.6	净计数率	1.928	1.606	1.254	0.950	_	104
		Net count rate / s ⁻¹						
		T_i to T_0 / h	16.0	33.2	56.9	84.3	_	
0.2:1	69.2	净计数率	1.366	1.139	0.896	0.666	_	99
		Net count rate / s ⁻¹						
		T_i to T_0 / h	16.0	33.3	57.0	84.3	_	
0.5:1	88.4	净计数率	0.474	0.376	_	_	_	98.2
		Net count rate / s ⁻¹						
		T_i to T_0 / h	15.1	39.5	_	_	_	
1:1	83.7	净计数率	0.569	0.478	0.445	_	_	98.5
		Net count rate / s ⁻¹						
		T_i to T_0 / h	15.1	35.3	43.7	_	_	
2:1	88.4	净计数率	0.902	0.775	0.719	0.658	0.594	106
		Net count rate / s ⁻¹						
		T_i to T_0 / h	9.6	26.8	37.9	50	61.3	
3:1	81.7	净计数率	1.110	0.977	0.899	0.817	0.757	114
		Net count rate / s ⁻¹						
		T_i to T_0 / h	9.5	26.7	37.8	49.9	61.1	
4:1	94.9	净计数率	1.510	1.333	1.241	1.132	1.039	117
		Net count rate / s^{-1}						
		T_i to T_0 / h	9.5	26.7	37.8	49.9	61.2	
5:1	92.2	净计数率	1.544	1.367	1.153	0.959	_	123
		Net count rate / s ⁻¹						
		T_i to T_0 / h	15.9	33.2	56.9	84.2	_	

注:%Sr加标回收率是指该样品源所有测量次两两一组计算结果的均值

Notes: The spiked recovery rate of ⁹⁰Sr in the table refers to the mean value of all the calculated results in pairs measured for the sample source.

表4 实际样品的应用 Table 4 Application of actual samples

样品名称	钇化学回收	测量信息Measurement information					修正结果A	除铋测量结果	相对偏差
Samples' name	率 Chemical recovery of Yttrium / %	测量次序 Measuring	Measuring The	The The		The	Correction result A	Results with separation of ²¹⁰ Bi	Relative deviation <i>A–B</i>
	rttifulli / /0	order	first time	second time	third time	fourth time		Di	$\frac{A+B}{A+B}$
深圳水库水 Water of Shenzhen reservoir	43.3	净计数率Net count rate / s ⁻¹	0.014	0.012	0.009	0.009	0.79 mBq·L ⁻¹	0.84 mBq·L ⁻¹	-3%
		T_i to T_0 / h	19.9	44.0	68.1	91.0			
东江下源河水 Water of Dongjiangxiayuan river	70.6	净计数率Net count rate / s ⁻¹	0.019	0.014	0.012	_	1.69 mBq·L ⁻¹	1.17 mBq·L ⁻¹	18%
		T_i to T_0 / h	20.0	44.1	68.2	_			
土壤Soil	54.5	净计数率Net count rate / s ⁻¹	0.067 2	0.027 7	0.017 7	_	0.51 Bq·kg ⁻¹	0.37 Bq·kg ⁻¹	16%
		T_i to T_0 / h	17	133	206	_			

通过 Bi_2S_3 沉淀的方法去除;未进行 Bi_2S_3 沉淀除铋或除铋不完全 ^{210}Bi 仍有残留时,可利用衰变规律通过对样品源重复测量、运用公式修正的方法消除 ^{210}Bi 干扰。 ^{210}Bi 与 ^{90}Sr 活度比 \leqslant 5 时,经修正后的 ^{90}Sr 结果与参考值的相对偏差在 23% 以内。环境样品通过修正方法计算的 ^{90}Sr 结果与 Bi_2S_3 沉淀除铋后的测量结果基本一致。

致谢 感谢莫光华、王家玥同志在本工作中给出的相关建议和帮助。

作者贡献说明 李美丽:负责实验分析、数据处理和 论文撰写;李巧勤、邓雨阳:参与实验分析、数据收 集;覃连敬:实验指导和论文修订;邓飞:负责整体方 案设计和修订审核论文。

参考文献

- 1 中华人民共和国环境保护部.水和生物样品灰中锶-90 的放射化学分析方法: HJ 815-2016[S]. 北京: 中国环境 科学出版社, 2016.
 - Ministry of Environmental Protection of the People's Republic of China. Radiochemical analysis of strontium-90 in water and biological samples: HJ 815-2016[S]. Beijing: China Environment Science Press, 2016.
- 2 国家国防科技工业局. 土壤中锶-90的分析方法: EJ/T 1035-2011[S]. 北京: 核工业标准化研究所, 2011.
 State Administration of Science, Technology and Industry for National Defence. Analysis method of strontium-90 in soil: EJ/T 1035-2011[S]. Beijing: Institute of Standardization of Nuclear Industry, 2011.
- 3 中华人民共和国国家卫生和计划生育委员会. 食品中放射性物质锶-89和锶-90的测定: GB 14883.3-2016[S]. 北京: 中国标准出版社, 2016.
 - National Health and Family Planning Commission of the People's Republic of China. Determination of radioactive substances strontium-89 and strontium-90 in food: GB 14883.3-2016[S]. Beijing: Standards Press of China, 2016.
- 4 陈锦芳, 刘广山. 环境样品中[∞]Sr的分析方法及其在海洋学研究中的应用[J]. 台湾海峡, 2003, **22**(3): 395 406. DOI: 10.3969/j.issn.1000-8160.2003.03.019.
 - CHEN Jinfang, LIU Guangshan. Reviews on ⁹⁰Sr measurement methods and applications in oceanographical research in environment[J]. Journal of Oceanography in Taiwan Strait, 2003, **22**(3): 395 406. DOI: 10.3969/j.issn.1000-8160.2003.03.019.
- 5 党磊, 吉艳琴. 低水平 ⁹⁰Sr 的分析方法研究进展[J]. 核化学与放射化学, 2010, **32**(3): 129 144.

- DANG Lei, JI Yanqin. Advance of methodology for determination of low-level ⁹⁰Sr[J]. Journal of Nuclear and Radiochemistry, 2010, **32**(3): 129 144.
- 6 杨素亮, 丁有钱, 张生栋, 等. 固相萃取片法分析环境水中的[∞]Sr[J]. 核化学与放射化学, 2014, 36(5): 305 309. DOI: 10.7538/hhx.2014.36.05.0305.
 - YANG Suliang, DING Youqian, ZHANG Shengdong, *et al.* Determination of ⁹⁰Sr in environmental water using Empore[™] strontium rad disk[J]. Journal of Nuclear and Radiochemistry, 2014, **36**(5): 305 309. DOI: 10.7538/hhx.2014.36.05.0305.
- 7 贾国纲. 土壤中⁹⁰Sr含量测定的改进方法[J]. 辐射防护, 1996, **16**(3): 224 232.
 - JIA Guogang. An improved method for the determination of ⁹⁰Sr in soil[J]. Radiation Protection, 1996, **16**(3): 224 232.
- 8 邓芳芳, 林武辉, 于涛, 等. 海洋沉积物中[∞]Sr 的分析方法[J]. 核化学与放射化学, 2015, **37**(4): 231 237. DOI: 10.7538/hhx.2015.37.04.0231.
 - DENG Fangfang, LIN Wuhui, YU Tao, *et al.* ⁹⁰Sr analysis method in the marine sediments[J]. Journal of Nuclear and Radiochemistry, 2015, **37**(4): 231 237. DOI: 10. 7538/hhx.2015.37.04.0231.
- 9 吴连生,曾帆,王萦,等. 锶特效树脂用于环境水样品中% Sr的富集、分离和测量方法研究[J]. 核化学与放射化学,2015,37(6): 476-483. DOI: 10.7538/hhx.2015.37.06.0476.
 - WU Liansheng, ZENG Fan, WANG Ying, *et al.* Application of Sr specific resin on enrichment, separation and determination of ⁹⁰Sr in environmental water[J]. Journal of Nuclear and Radiochemistry, 2015, **37**(6): 476 483. DOI: 10.7538/hhx.2015.37.06.0476.
- 10 吴连生, 陈超峰, 张兵, 等. 液闪谱仪对 ⁹⁰Sr 和 ⁹⁰Y 的测量方法研究[J]. 原子能科学技术, 2016, **50**(1): 46 53. DOI: 10.7538/yzk.2016.50.01.0046.
 - WU Liansheng, CHEN Chaofeng, ZHANG Bing, *et al.* Study on determination of ⁹⁰Sr and ⁹⁰Y by liquid scintillation spectrometry[J]. Atomic Energy Science and Technology, 2016, **50**(1): 46 53. DOI: 10.7538/yzk. 2016.50.01.0046.
- 11 舒复君, 杨金玲, 杨志红, 等. 一种快速分析土壤样品中% Sr 的方法[J]. 核化学与放射化学, 2013, **35**(1): 14-18. DOI: 10.7538/hhx.2013.35.01.0014.
 - SHU Fujun, YANG Jinling, YANG Zhihong, *et al*. A rapid method for radiochemical analysis of ⁹⁰Sr in soils[J]. Journal of Nuclear and Radiochemistry, 2013, **35**(1): 14 –

- 18. DOI: 10.7538/hhx.2013.35.01.0014.
- 12 王铁健, 冯硕, 崔建勇, 等. 土壤中⁹⁰Sr 快速测量方法的改进[J]. 世界核地质科学, 2019, **36**(4): 238 242. DOI: 10.3969/j.issn.1672-0636.2019.04.009.
 WANG Tiejian, FENG Shuo, CUI Jianyong, *et al.* An improved method for the provided elementary of ⁹⁰Sn in axid.
 - WANG Tiejian, FENG Shuo, CUI Jianyong, *et al.* An improved method for the rapid determination of ⁹⁰Sr in soil [J]. World Nuclear Geoscience, 2019, **36**(4): 238 242. DOI: 10.3969/j.issn.1672-0636.2019.04.009.
- 13 Kocadag M, Musilek A, Steinhauser G. On the interference of ²¹⁰Pb in the determination of ⁹⁰Sr using a strontium specific resin[J]. Nuclear Technology and

- Radiation Protection, 2013, **28**(2): 163 168. DOI: 10.2298/ntrp1302163k.
- 14 闻德运, 常振旗, 於国兵, 等. CL-P204 树脂对²¹⁰Bi 吸附性能研究[J]. 核电子学与探测技术, 2018, **38**(4): 468 473. DOI: 10.3969/j.issn.0258-0934.2018.04.005.
 - WEN Deyun, CHANG Zhenqi, YU Guobing, *et al.* Study on adsorption properties of ²¹⁰Bi for CL-P204 resin[J]. Nuclear Electronics & Detection Technology, 2018, **38** (4): 468 473. DOI: 10.3969/j. issn. 0258-0934.2018. 04.005.